

## 10 РАДИАЦИОННЫЙ МОНИТОРИНГ

### **Введение**

Объектами наблюдений при проведении радиационного мониторинга являются атмосферный воздух, почва, поверхностные и подземные воды [46].

Радиационный мониторинг проводится в целях наблюдения за:

естественным радиационным фоном;

радиационным фоном в районах воздействия потенциальных источников радиоактивного загрязнения, в том числе для оценки трансграничного переноса радиоактивных веществ;

радиоактивным загрязнением атмосферного воздуха, почвы, поверхностных и подземных вод на территориях, подвергшихся радиоактивному загрязнению в результате катастрофы на Чернобыльской АЭС.

Радиационный мониторинг в части естественного радиационного фона, радиоактивного загрязнения атмосферного воздуха, ненарушенных участков почвы, поверхностных и подземных вод в районах воздействия потенциальных источников радиоактивного загрязнения и на территориях, подвергшихся радиоактивному загрязнению в результате катастрофы на Чернобыльской АЭС, проводится Белгидрометом.

Сбор, обработку и хранение данных, предоставление информации, получаемой в результате проведения радиационного мониторинга, осуществляют информационно-аналитический центр радиационного мониторинга, функционирующий в Белгидромете.

Наблюдения за радиоактивным загрязнением компонентов окружающей среды проводятся в соответствии с [47].

На территории Республики Беларусь в 2023 г. функционировали *пункты наблюдений радиационного мониторинга атмосферного воздуха*, включающие:

41 пункт наблюдений, на котором ежедневно проводятся измерения мощности дозы гамма-излучения (далее – МД);

25 пунктов наблюдений, на которых проводятся наблюдения за естественными выпадениями из атмосферы (отбор проб проводился с помощью горизонтальных планшетов ежедневно на 7 пунктах, расположенных в зонах влияния работающих АЭС, на остальных пунктах наблюдений – 1 раз в 10 дней);

10 пунктов наблюдений, расположенных в г. Браслав, г. Гомель, г. Минск, г. Могилев, г. Мозырь, г. Мстиславль, г. Пинск, г. Ошмяны, пгт. Лынтупы и к.п. Нарочь, на которых проводятся наблюдения за радиоактивными аэрозолями в приземном слое атмосферы (отбор проб проводится с использованием фильтровентиляционных установок на 9 пунктах наблюдений ежедневно, на пункте наблюдений г. Могилев – 1 раз в 10 дней).

Для оперативного выявления аварийных ситуаций суточные пробы атмосферного воздуха, отобранные в районах воздействия работающих АЭС, расположенных на территории сопредельных государств, подвергаются анализу на содержание «свежих» продуктов распада, короткоживущих радионуклидов, и в первую очередь, йода-131.

*Радиационный мониторинг поверхностных вод* в 2023 г. проводился на 16 пунктах наблюдений:

на основных 6 реках Беларуси, протекающих по территориям, загрязненным в результате аварии на Чернобыльской АЭС: р. Днепр (г. Речица), р. Припять (г. Мозырь), р. Сож (г. Гомель), р. Ипуть (г. Добруш), р. Беседь (д. Светиловичи), р. Нижняя Брагинка (д. Гдень);

на 7 трансграничных участках рек: р. Словечна (д. Скородное), р. Припять (д. Довляды), р. Днепр (г. Лоев), р. Горынь (д. Речица), р. Стыр (д. Ладорож), р. Сож (д. Коськово), а также на оз. Дрисвяты (д. Пашевичи), которое являлось водоемом-охладителем Игналинской АЭС;

на 3 водных объектах в районе размещения Белорусской АЭС: р. Вилия (д. Быстрица), оз. Нарочь (к.п. Нарочь) и оз. Свирь (п. Свирь).

Наблюдаемые параметры – объемная активность цезия-137 и стронция-90 в поверхностных водах; удельная активность цезия и стронция в донных отложениях.

Периодичность проведения наблюдений за радиоактивным загрязнением поверхностных вод на основных 6 реках и оз. Дрисвяты – 1 раз в квартал, на трансграничных участках рек – 1 раз в год, на водных объектах в районе размещения Белорусской АЭС – 5 раз в год. Донные отложения отбираются 1 раз в год на водных объектах в районе расположения Белорусской АЭС, на остальных пунктах наблюдений – 1 раз в год каждые три года.

*Радиационный мониторинг почв на не подвергавшихся техногенному воздействию после аварии на Чернобыльской АЭС территориях* проводится на сети пунктов наблюдений, включающей реперные площадки (далее – РП) и ландшафтно-геохимические полигоны (далее – ЛГХП).

Наблюдаемые параметры: уровни МД на поверхности почвы и на высоте 1 м, содержание цезия-137 и стронция-90 в почве на РП; фактическое распределение цезия-137 и стронция-90 по вертикальному профилю почв на ЛГХП.

Периодичность проведения наблюдений составляет 1 раз в 5 лет.

В 2023 г. наблюдения проведены на 8 РП и 6 ЛГХП.

Оценка текущего радиационного состояния компонентов окружающей среды на пунктах наблюдений и анализ динамики его изменения выполняются путем сравнения результатов измерений контролируемых параметров с:

- установленными нормативами и референтными уровнями;
- результатами измерения «нулевого фона» при их наличии;
- результатами измерения аналогичных радиационных параметров, полученными на пункте наблюдений за предыдущие десять лет.

Для оценки интенсивности процессов пространственного перераспределения радионуклидов по профилю различных типов почв определяются количественные параметры вертикальной миграции радионуклидов.

Составление прогноза изменения радиационной обстановки осуществляется на основании динамики уровней загрязнения объектов радиационного мониторинга и скорости изменения этих уровней, определяемых при сравнении результатов радиационного мониторинга с результатами предыдущих измерений.

### **Основной посыл и выводы**

В 2023 г. радиационная обстановка на территории республики оставалась стабильной, по результатам радиационного мониторинга атмосферного воздуха не выявлено ни одного случая превышения уровней МД над установившимися многолетними значениями, уровни суммарной бета-активности и содержания цезия-137 в пробах атмосферного воздуха соответствовали установившимся многолетним значениям.

Объемная активность цезия-137 и стронция-90 в поверхностных водах рек, хотя и незначительно превышала уровни, наблюдавшихся до аварии на Чернобыльской АЭС, была значительно ниже референтных уровней ( $10000 \text{ Бк}/\text{м}^3$ ), предусмотренных [48, 49].

Результаты радиационного мониторинга почвы в 2023 г. не выявили новых тенденций, связанных с процессами вертикальной миграции радионуклидов в почве. В настоящее время отмечается медленное снижение уровней МД, в основном, за счет естественного распада цезия-137, и только незначительное снижение – за счет заглубления радионуклидов вследствие вертикальной миграции по почвенному профилю.

## Результаты наблюдений и оценка

### Радиационный мониторинг атмосферного воздуха

Как и в предыдущие годы, повышенные уровни МД зарегистрированы в пунктах наблюдений в г. Брагин и г. Славгород, находящихся в зоне радиоактивного загрязнения. Значения уровней МД в г. Брагин колебались в диапазоне от 0,39 до 0,52 мкЗв/ч, в г. Славгород – от 0,16 до 0,21 мкЗв/ч, при этом среднегодовые значения МД составляли в г. Брагин – 0,46 мкЗв/ч, в г. Славгород – 0,18 мкЗв/ч. Вместе с тем, на пункте наблюдений ДП Славгород значение мощности дозы 0,18 мкЗв/ч вышло в позитивную тенденцию и не превышает уровень естественного гамма-фона – до 20 мкЗв/ч.

В остальных пунктах наблюдений МД не превышала уровень естественного гамма-фона (до 0,20 мкЗв/ч).

На рисунке 10.1 представлены среднегодовые значения МД в пунктах наблюдений Гомельской и Могилевской областей, где уровни МД превышали 0,20 мкЗв/ч, за период 2013–2023 гг.

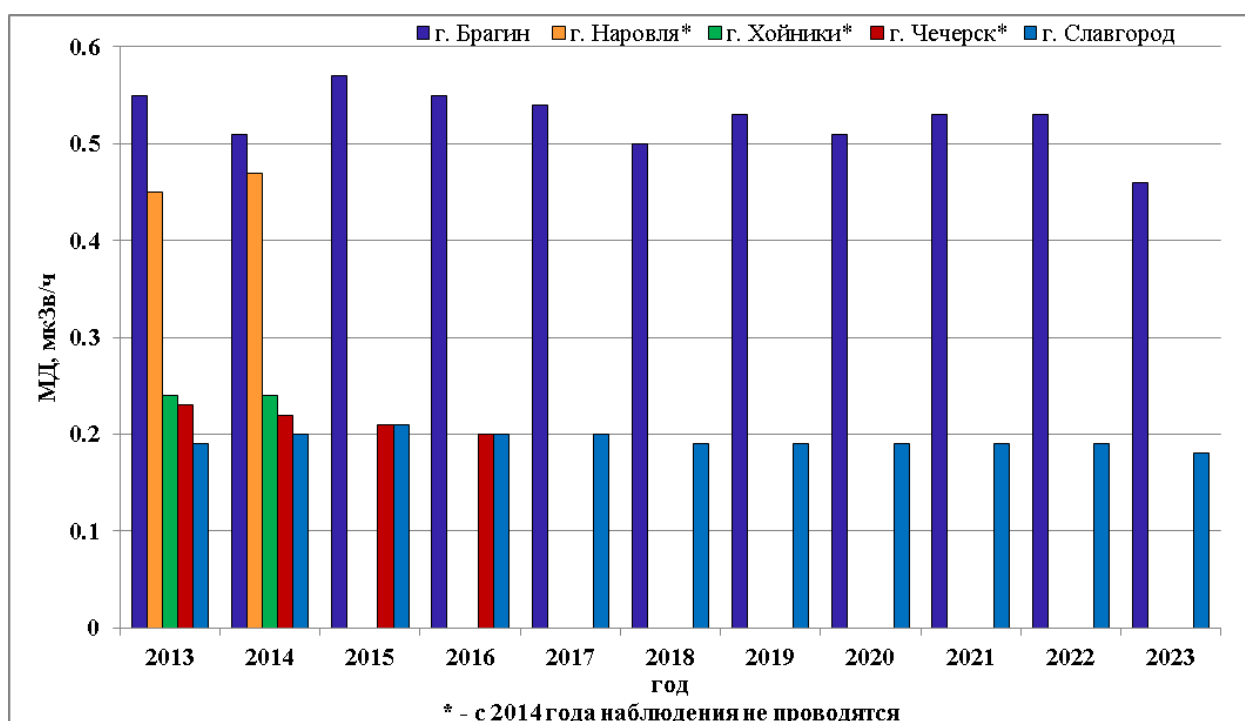


Рисунок 10.1 – Среднегодовые значения МД в некоторых пунктах наблюдений Гомельской и Могилевской областей за период 2013 – 2023 гг.

В областных городах Республики Беларусь в 2023 г. среднегодовой уровень МД гамма-излучения находился в пределах от 0,10 до 0,13 мкЗв/ч.

Следует отметить, что МД гамма-излучения, после аварии на Чернобыльской АЭС, постоянно снижается за счет естественного радиоактивного распада цезия-137 и процесса его заглубления в почве.

В суточных пробах радиоактивных аэрозолей и выпадений из атмосферы, отобранных в зонах воздействия работающих АЭС, расположенных на территории сопредельных государств, случаев обнаружения короткоживущих изотопов, в том числе йода-131, которые являются индикаторами аварийных ситуаций на ядерно-опасных объектах, в 2023 г. не было.

На рисунке 10.2 представлены среднегодовые значения суммарной бета-активности выпадений из атмосферы на пунктах наблюдений в 2023 г.

Как видно из рисунка 10.2, наибольшие среднегодовые значения суммарной бета-активности в пробах радиоактивных выпадений из атмосферы наблюдались на пунктах наблюдений Могилевской области: г. Костюковичи (3,3 Бк/м<sup>2</sup>сут),

г. Мстиславль ( $3,0 \text{ Бк}/\text{м}^2\text{сут}$ ) и г. Горки ( $3,7 \text{ Бк}/\text{м}^2\text{сут}$ ), а также в пункте наблюдений г. Славгород ( $3,2 \text{ Бк}/\text{м}^2\text{сут}$ ).

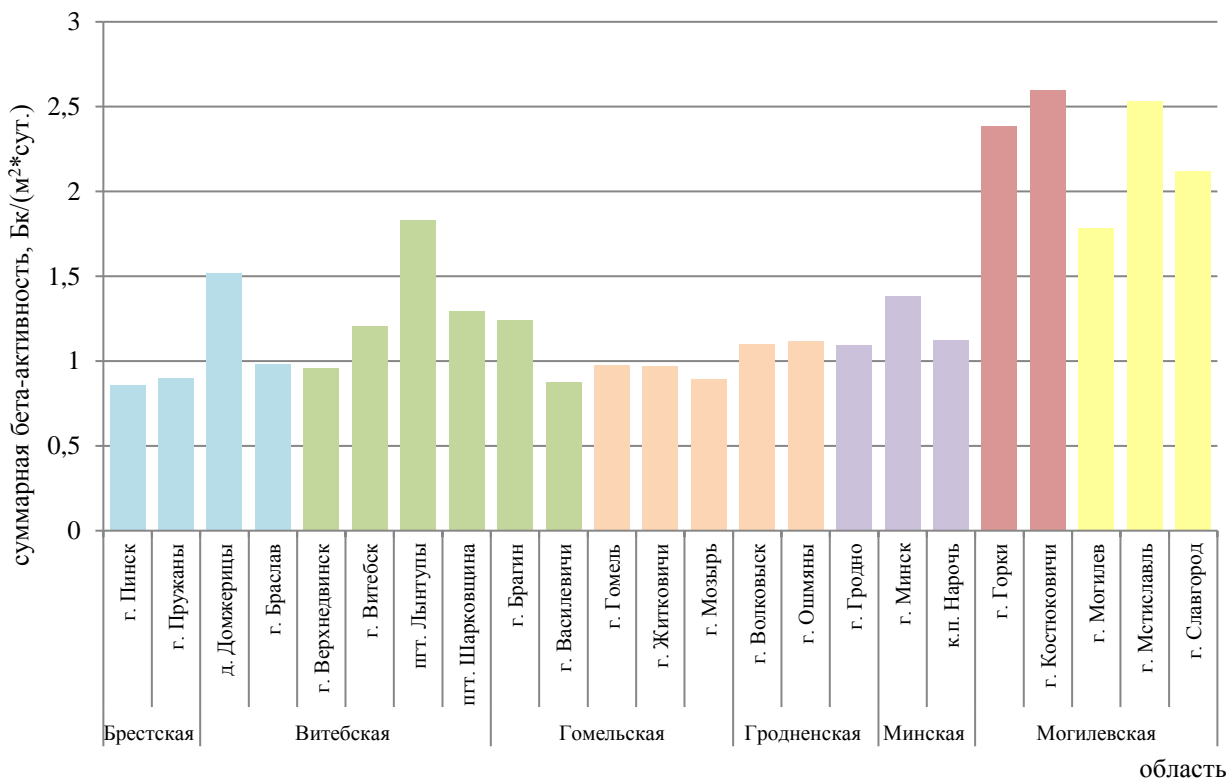


Рисунок 10.2 – Средние значения суммарной бета-активности в пробах радиоактивных выпадений из атмосферы на пунктах наблюдений за 2023 г.

Соответственно, на пунктах наблюдений Могилевской области зарегистрированы наиболее высокие среднемесячные уровни суммарной бета-активности в пробах радиоактивных выпадений: в г. Мстиславль ( $14,1 \text{ Бк}/\text{м}^2\text{сут}$  в январе), г. Горки ( $11,9 \text{ Бк}/\text{м}^2\text{сут}$  в марте) и г. Лынтупы ( $10,0 \text{ Бк}/\text{м}^2\text{сут}$  в апреле).

Более высокие уровни суммарной бета-активности выпадений из атмосферы Могилевской области по сравнению с другими пунктами наблюдений обусловлены строением почв в данном регионе. Уровни суммарной бета-активности зависят от содержания калия-40 в почве, наличия радиоактивных тектонических зон с повышенной концентрацией радона, обусловленной присутствием гранитов, сланцев, сиенитов в коренных породах. В связи с этим оценка данного параметра проводится отдельно по каждому пункту наблюдения путем сравнения с результатами предыдущих многолетних наблюдений.

Поскольку значимый вклад в суммарную бета-активность проб атмосферного воздуха вносит естественная радиоактивность (калий-40, радон-222 и его дочерние радионуклиды), значения этого параметра колеблются в широких пределах.

На рисунке 10.3 представлена многолетняя динамика среднегодовых уровней суммарной бета-активности в пробах выпадений, отобранных на пунктах наблюдений г. Горки, г. Костюковичи, г. Мстиславль и г. Могилев, где в 2023 г. наблюдались наибольшие среднегодовые значения суммарной бета-активности.

Данные, представленные на рисунке 10.3, свидетельствуют, что уровни суммарной бета-активности выпадений из атмосферы в 2023 г. на пунктах наблюдений соответствовали установившимся многолетним значениям. При этом следует отметить незначительный рост суммарной бета-активности для пунктов наблюдений г. Могилев, г. Мстиславль и г. Костюковичи, которые находятся в 100 км зоне воздействия Смоленской АЭС.

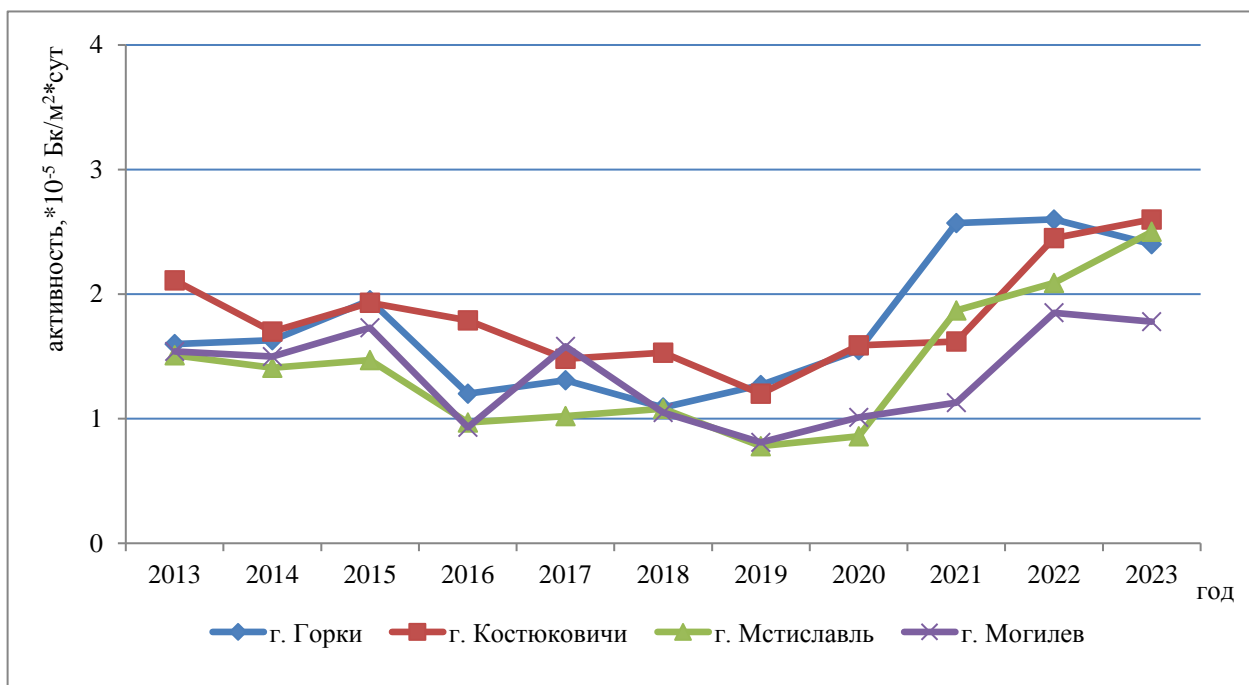


Рисунок 10.3 – Динамика среднегодовых уровней суммарной бета-активности в пробах выпадений из атмосферы за период 2013 – 2023 гг.

На рисунке 10.4 показаны среднемесячные значения суммарной бета-активности в пробах аэрозолей на пунктах наблюдений за 2023 г.

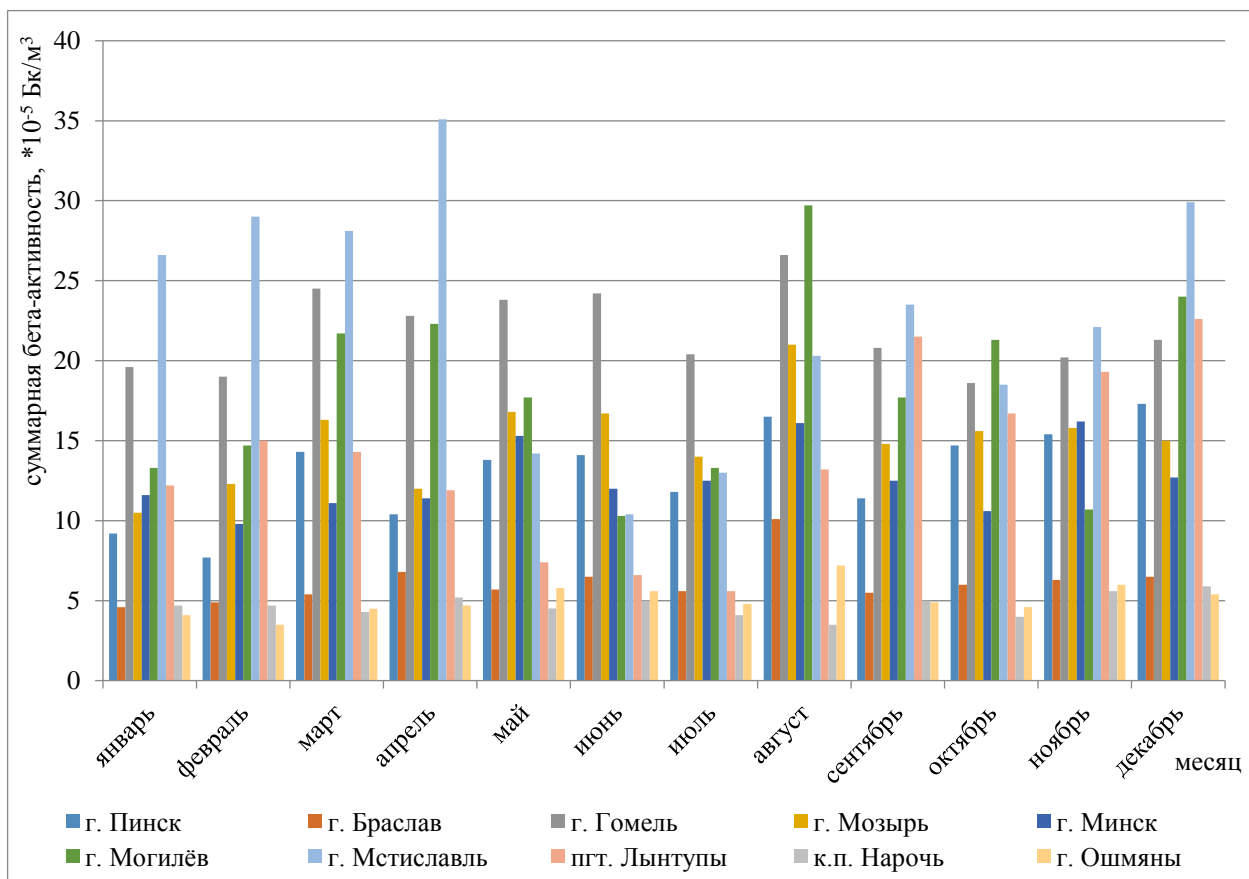


Рисунок 10.4 – Среднемесячные значения суммарной бета-активности в пробах аэрозолей на пунктах наблюдений за 2023 г.

Анализ результатов измерений суммарной бета-активности атмосферных аэрозолей в 2023 г. показывает, что среднемесячные уровни суммарной бета-активности колебались в пределах от  $3,5 \cdot 10^{-5}$  до  $28,7 \cdot 10^{-5}$  Бк/м<sup>3</sup>, что обусловлено вкладом в суммарную бета-активность естественных радионуклидов. Кроме того, активность радионуклидов в приземном слое атмосферы в значительной степени определяется содержанием пыли в воздухе, т.е. процессами вторичного ветрового подъема, причем выпадение осадков в 3-4 раза снижает активность радиоактивных аэрозолей в атмосферном воздухе.

Наибольшие среднемесячные уровни наблюдались в пунктах наблюдений: г. Мстиславль ( $23,4 \cdot 10^{-5}$  Бк/м<sup>3</sup>) – в январе и г. Могилев ( $28,7 \cdot 10^{-5}$  Бк/м<sup>3</sup>) – в январе.

На рисунке 10.5 представлена динамика среднегодовых уровней суммарной бета-активности в пробах аэрозолей за 10-летний период наблюдений.

Как видно из диаграммы, представленной на рисунке 10.5, в 2023 г. наблюдалось некоторое увеличение среднегодовых уровней суммарной бета-активности аэрозолей на пунктах наблюдений г. Гомель и г. Мстиславль, где, как правило, фиксируются наибольшие среднегодовые значения, на остальных пунктах наблюдались незначительные колебания этого параметра. В целом, уровни суммарной бета-активности аэрозолей в 2023 г. соответствовали установившимся для конкретного пункта наблюдений многолетним значениям.

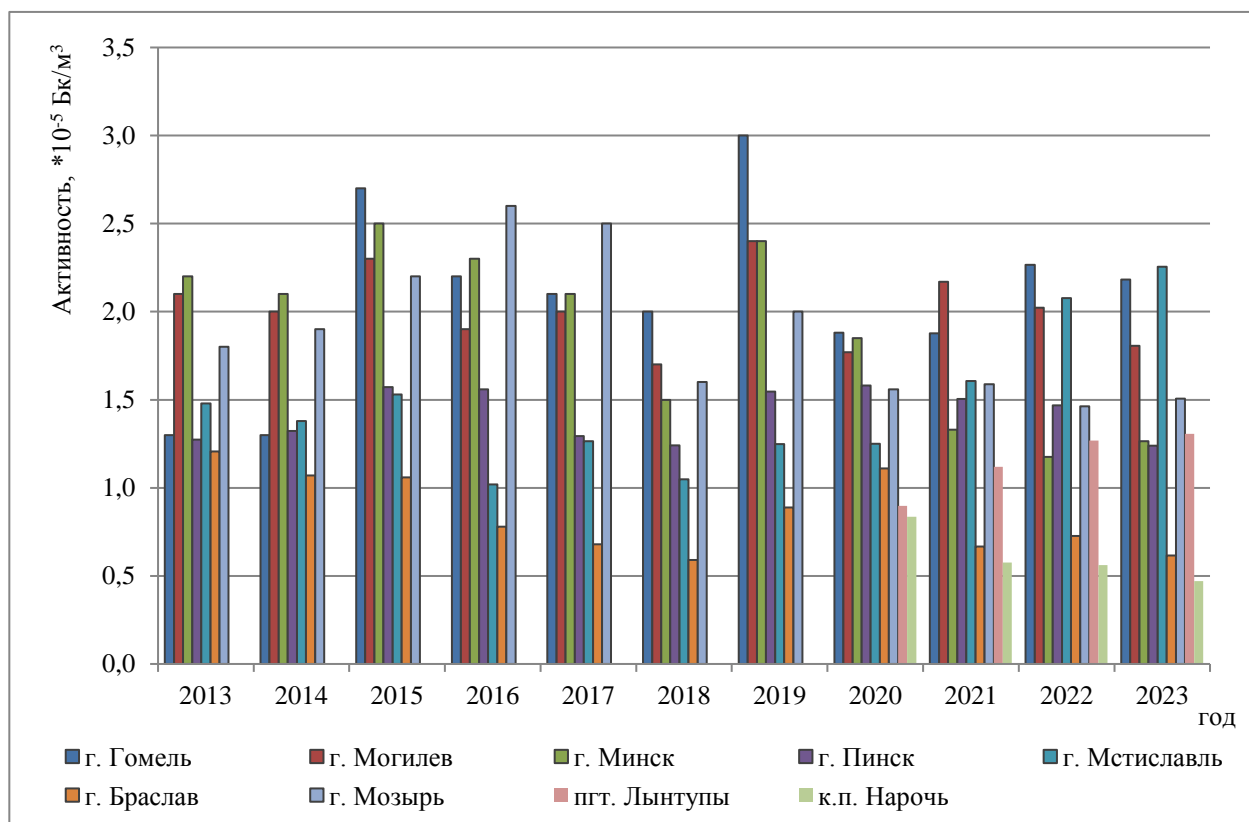


Рисунок 10.5 – Динамика среднегодовых уровней суммарной бета-активности в пробах аэрозолей за период 2013 – 2023 гг.

Среднее значение содержания цезия-137 в месячных пробах аэрозолей, отобранных в 2023 г. на пунктах наблюдения сети радиационного мониторинга, находилось в диапазоне от  $0,1 \cdot 10^{-6}$  Бк/м<sup>3</sup> до  $23,7 \cdot 10^{-6}$  Бк/м<sup>3</sup>.

На рисунке 10.6 представлена динамика среднегодовых значений объемной активности цезия-137 в пробах аэрозолей за период наблюдений 2013 – 2023 гг.

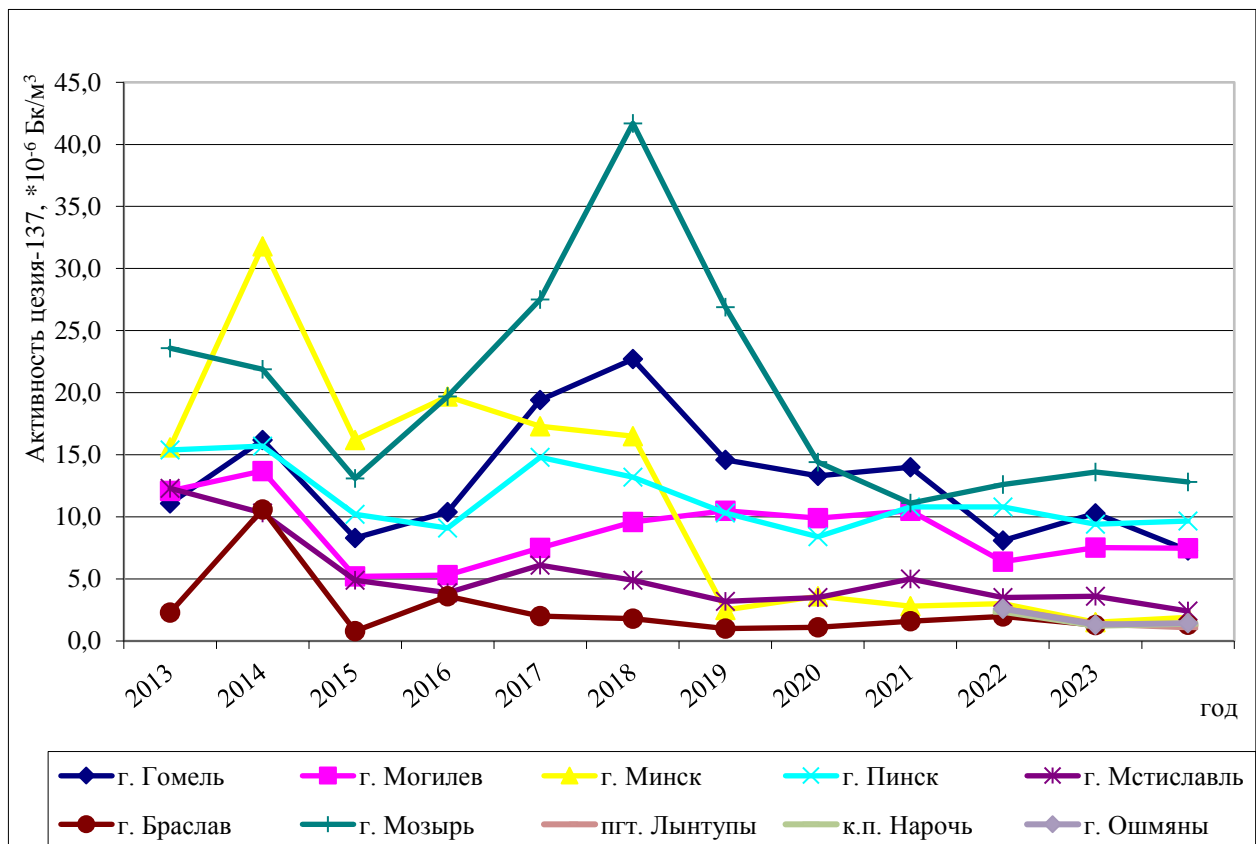


Рисунок 10.6 – Динамика среднегодовых значений объемной активности цезия-137 в пробах аэrozолей за период наблюдений 2013 – 2023 гг.

Как видно из рисунка 10.6, за последние 10 лет наблюдался максимум среднегодовых значений содержания цезия-137 в пробах аэrozолей в 2015 г. на пунктах наблюдений г. Мозырь и г. Гомель, обусловлен крупными пожарами, как в Украине, так и на территории зоны отчуждения Республики Беларусь.

В 2023 г. крупных пожаров, способных привести к повышению уровня радиоактивного загрязнения воздуха, не зафиксировано. Содержание цезия-137 в аэrozолях приземного слоя атмосферы находилось на уровне установившихся многолетних значений (без учета данных 2015 г.).

Таким образом, уровни радиоактивного загрязнения атмосферного воздуха, зафиксированные в 2023 г. на пунктах наблюдений радиационного мониторинга, соответствовали установившимся многолетним значениям и были значительно ниже уровней радиационного воздействия, используемых для обеспечения радиационной безопасности, установленных в [48, 49].

В районе размещения Белорусской АЭС с 2019 г. функционируют 3 пункта наблюдений радиационного мониторинга атмосферного воздуха (Лынтупы, Нарочь и Ошмяны).

На рисунках 10.7 и 10.8 показаны среднемесячные значения суммарной бета-активности в пробах естественных выпадений из атмосферы и аэrozолей на пунктах наблюдений, размещенных в районе Белорусской АЭС, за 2023 г.

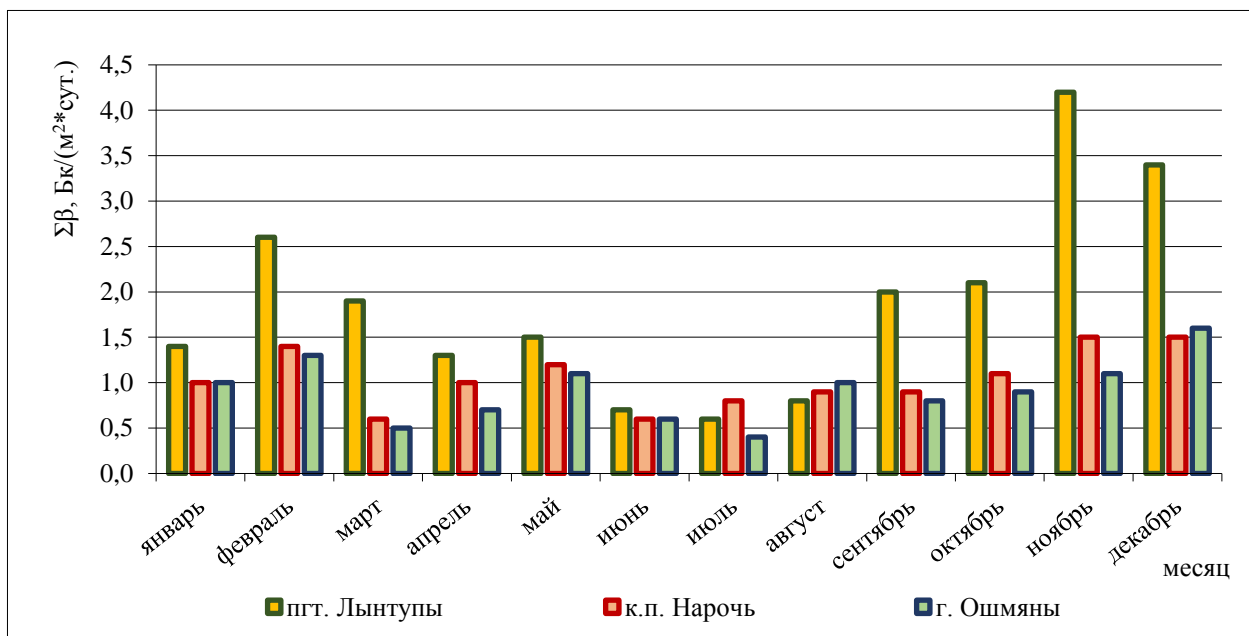


Рисунок 10.7 – Среднемесячные значения суммарной бета-активности в пробах радиоактивных выпадений из атмосферы на пунктах наблюдений в районе размещения Белорусской АЭС за 2023 г.

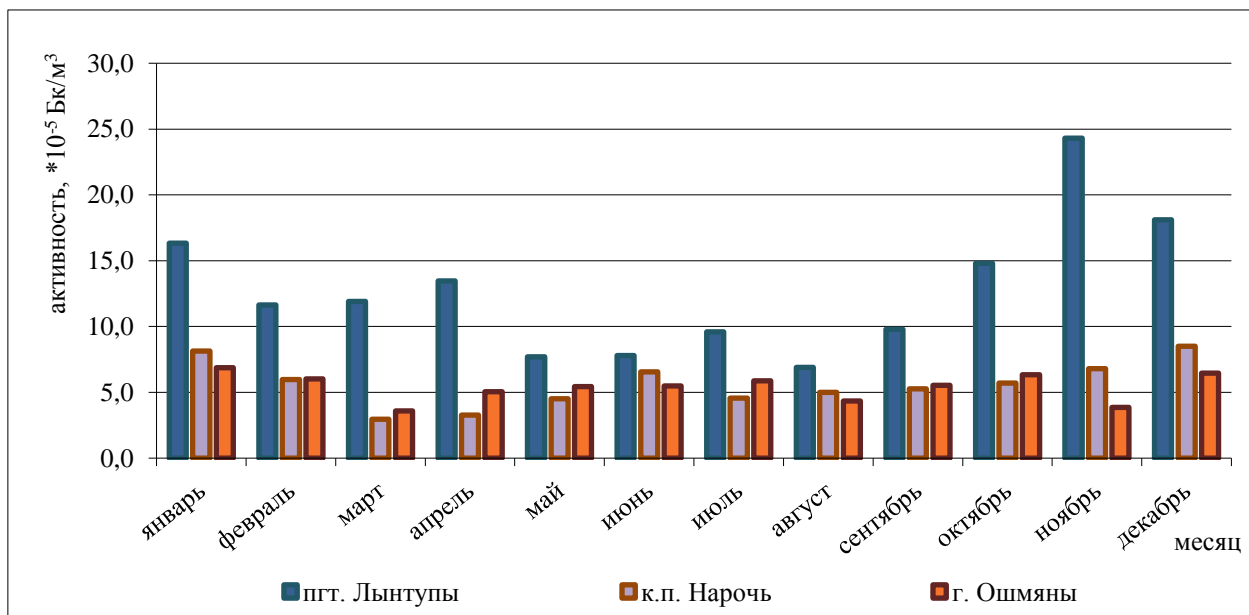


Рисунок 10.8 – Среднемесячные значения суммарной бета-активности в пробах аэрозолей на пунктах наблюдений в районе размещения Белорусской АЭС за 2023 г.

Данные радиационного мониторинга атмосферного воздуха, подтвержденные данными автоматизированных систем контроля радиационной обстановки в районе размещения Белорусской АЭС, свидетельствуют о том, что запуск первого блока Белорусской АЭС не оказал негативного влияния на радиационную обстановку окружающей среды.

Продолжались наблюдения за содержанием естественных радионуклидов в атмосферном воздухе. В среднемесячных значениях проб аэрозолей определялась объемная активность бериллия-7 и свинца-210. Активности естественных радионуклидов в приземном слое атмосферы также соответствовали многолетним значениям. Содержание бериллия-7 в атмосферном воздухе на пунктах наблюдений в 2023 г. находилось в диапазоне от  $480 \cdot 10^{-6}$   $\text{Бк}/\text{м}^3$  до  $3998 \cdot 10^{-6}$   $\text{Бк}/\text{м}^3$ , свинца-210 –

от  $23,0 \cdot 10^{-6}$  Бк/м<sup>3</sup> до  $655,0 \cdot 10^{-6}$  Бк/м<sup>3</sup>. Наиболее высокие уровни активности бериллия-7 фиксировались в августе месяце. Пик объемной активности свинца-210 на многих пунктах наблюдений в 2023 г. пришелся на ноябрь и декабрь.

### **Радиационный мониторинг поверхностных вод**

Радиационный мониторинг поверхностных вод в 2023 г. проводился на 16 пунктах наблюдений:

6 пунктов наблюдений на крупных и средних реках Беларуси, водосборы которых подверглись радиоактивному загрязнению в результате аварии на Чернобыльской АЭС: Днепр (г. Речица), Припять (г. Мозырь), Сож (г. Гомель), Ипуть (г. Добруш), Беседь (д. Светиловичи), Нижняя Брагинка (д. Гдень);

7 пунктов наблюдений за радиоактивным загрязнением поверхностных вод, проводимых на трансграничных участках водных объектов: р. Сож (д. Коськово), р. Припять (д. Довляды), р. Словечно (д. Скородное), р. Днепр (г. Лоев), р. Горынь (д. Речица), р. Стыр (д. Ладорож) и на оз. Дрисвяты (д. Пашевичи), которое являлось водоемом-охладителем Игналинской АЭС;

3 пункта наблюдений в районе размещения Белорусской АЭС: р. Вилия (д. Быстрица), оз. Нарочь (к.п. Нарочь), оз. Свири (п. Свири).

Наблюдения за радиоактивным загрязнением донных отложений проводились на 9 пунктах наблюдений: р. Днепр (г. Речица), р. Припять (г. Мозырь), р. Сож (г. Гомель), р. Ипуть (г. Добруш), р. Беседь (д. Светиловичи), р. Нижняя Брагинка (д. Гдень), р. Вилия (д. Быстрица), оз. Нарочь (к.п. Нарочь), оз. Свири (п. Свири).

В отобранных пробах воды определено содержание цезия-137, стронция-90, в пробах донных отложений – содержание цезия-137 и стронция-90.

На рисунке 10.9 представлены среднегодовые значения концентраций цезия-137 в поверхностных водах за период 1987–2023 гг.

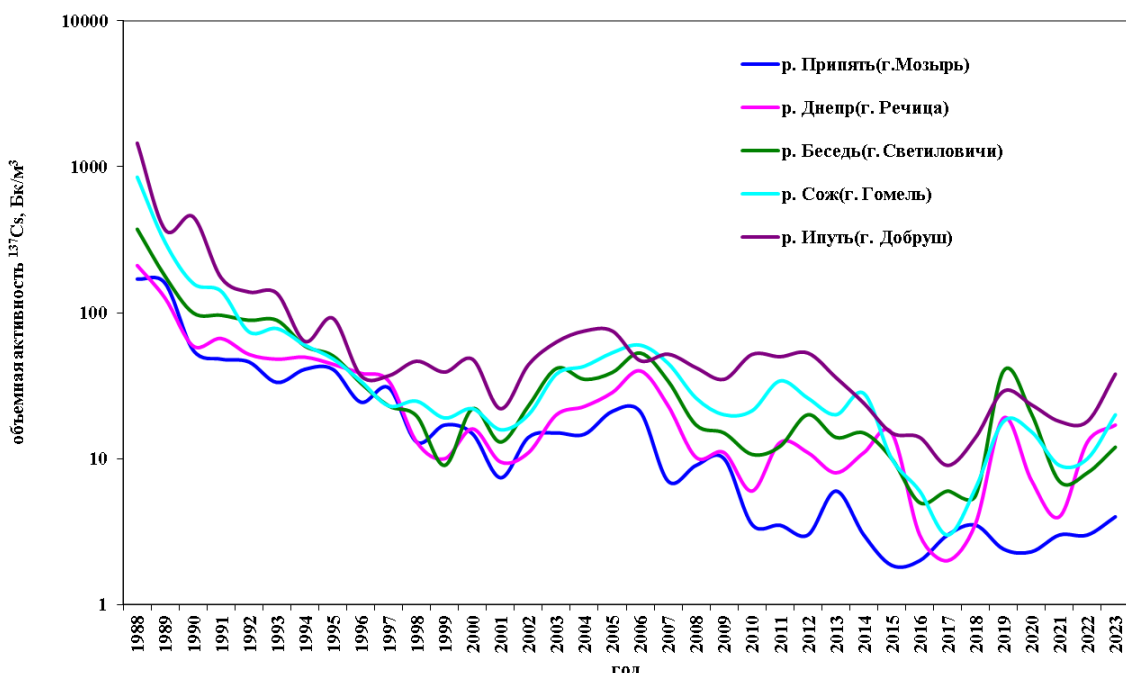


Рисунок 10.9 – Динамика среднегодовых концентраций цезия-137 в воде контролируемых рек за период 1987 – 2023 гг.

В 2023 г. содержание цезия-137 в р. Припять (г. Мозырь) находилось в пределах от 2 до 7 Бк/м<sup>3</sup>; в р. Днепр (г. Речица) – от 2 до 56 Бк/м<sup>3</sup>; в р. Сож (г. Гомель) –

от 9 до 41 Бк/м<sup>3</sup>; в р. Ипуть (г. Добруш) – от 5 до 102 Бк/м<sup>3</sup>; в р. Беседь (д. Светиловичи) – от 4 до 53 Бк/м<sup>3</sup>.

Содержание стронция-90 в 2023 г. в р. Припять (г. Мозырь) находилось в пределах от 4 до 11 Бк/м<sup>3</sup>; в р. Днепр (г. Речица) – от 4 до 21 Бк/м<sup>3</sup>; в р. Сож (г. Гомель) – от 12 до 42 Бк/м<sup>3</sup>; в р. Ипуть (г. Добруш) – от 10 до 33 Бк/м<sup>3</sup>; в р. Беседь (д. Светиловичи) – от 12 до 30 Бк/м<sup>3</sup>.

Анализ данных по динамике уровней радиоактивного загрязнения воды в контролируемых реках показал, что среднегодовые концентрации радионуклидов в период 1987–2023 гг. находились ниже референтных уровней, предусмотренных [48].

На рисунке 10.10 представлены среднегодовые концентрации стронция-90 в поверхностных водах за период 1990 – 2023 гг.

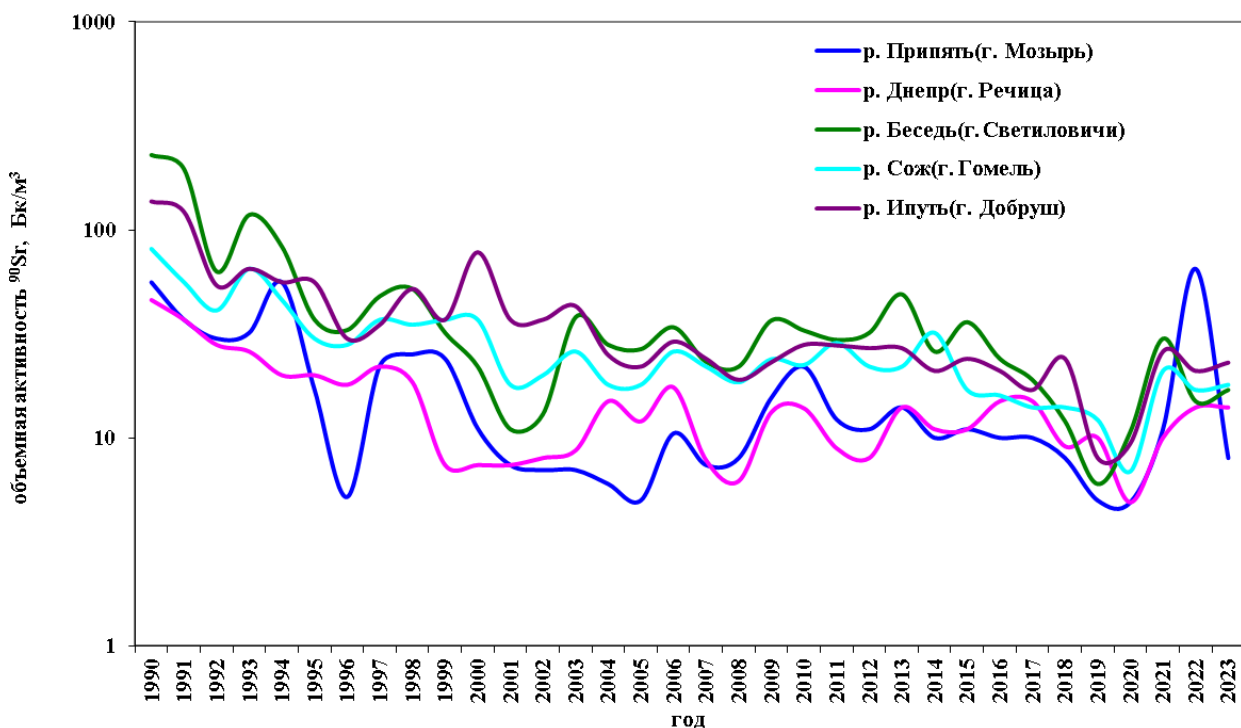


Рисунок 10.10 – Динамика среднегодовых концентраций стронция-90 в поверхностных водах рек Беларусь за период 1990 – 2023 гг.

Как видно из рисунка 10.10, до 2006 г. среднегодовые концентрации стронция-90 в поверхностных водах стабильно снижались, после 2006 г. можно говорить об их стабилизации, несмотря на довольно значительные флуктуации, обусловленные тем, что концентрации этого радионуклида в поверхностных водах напрямую зависят от водности года. Поскольку стронций-90 в почве находится в основном в ионообменной форме, его смыв талыми и дождовыми водами с водосбора происходит в растворенном состоянии, заметно усиливаясь во время паводков. В годы, характеризующиеся повышенной водностью, как правило, наблюдается увеличение объемной активности стронция-90 в воде. Так и в 2023 г., отмечается всплеск активности этого радионуклида в поверхностных водах в связи с паводками.

В 2023 г. в воде водных объектов, расположенных в зонах воздействия работающих атомных электростанций, расположенных на территориях сопредельных государств, «свежих» радиоактивных изотопов, в том числе йода-131 не обнаружено.

### **Радиационный мониторинг почвы**

*Радиационный мониторинг на ненарушенных участках почвы, не подвергавшихся техногенному воздействию после аварии на Чернобыльской АЭС*

В 2023 г. проведено обследование ЛГХП (Быстрица, Кемелишки, Гудогай и Свирь), расположенных в районе размещения Белорусской АЭС, где периодичность наблюдений составляет один раз в год. Информация о географической привязке, описание ландшафтно-геохимических условий и типах почвы ЛГХП приведены в таблице 10.1.

Таблица 10.1 – Характеристика обследованных ЛГХП

Характеристика	Почвенный разрез			
	ЛГХП Быстрица	ЛГХП Кемелишки	ЛГХП Гудогай	ЛГХП Свирь
Привязка к населенному пункту	д. Быстрица, Островецкий р/н	д. Кемелишки Островецкий р/н	д. Гудогай Островецкий р/н	п. Свирь Мядельский р/н
Ландшафт	долина с плоской поймой, локальными террасами, злаковыми лугами	средневысотный водноледниковый с озерами, с прерывистым покровом водно-ледниковых супесей, волнистый, выбороочно-распаханный	возвышенный с прерывистым покровом водно-ледниковых супесей, средне-холмистый с сосновыми лесами	возвышенный с прерывистым покровом водно-ледниковых супесей, средне-холмистый с сосновыми лесами
Тип почвы	дерново-перегнойно-глееватая, развивающаяся на рыхлом песчаном аллювии	дерново-подзолистая, с признаками избыточного увлажнения суглинистая	дерново-подзолистая, развивающаяся на связных мелкозернистых песках	дерново-подзолистая супесчаная

Фактическое распределение активности радионуклидов по вертикальному профилю почв данных ЛГХП в 2023 г. представлено на рисунках 10.11-10.12.

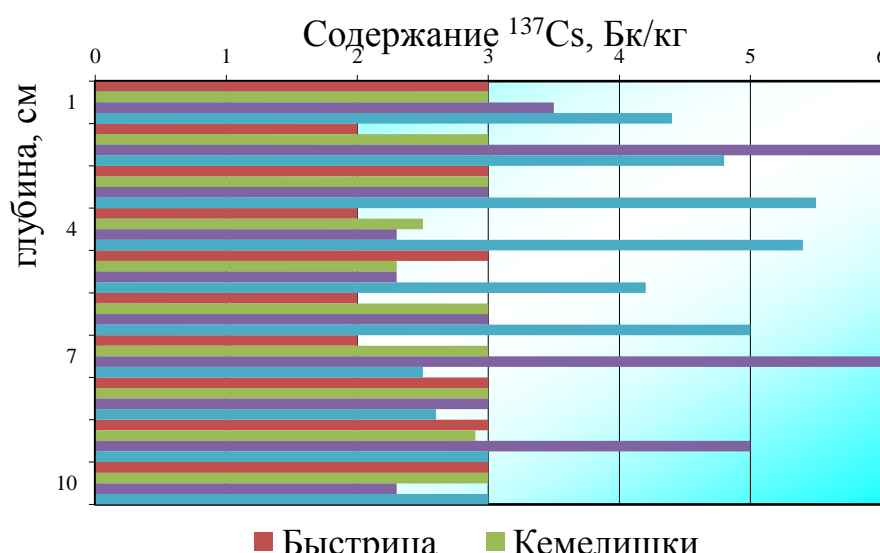


Рисунок 10.11 – Фактическое распределение цезия-137 по вертикальному профилю почв на ЛГХП, размещенных в районе расположения Белорусской АЭС

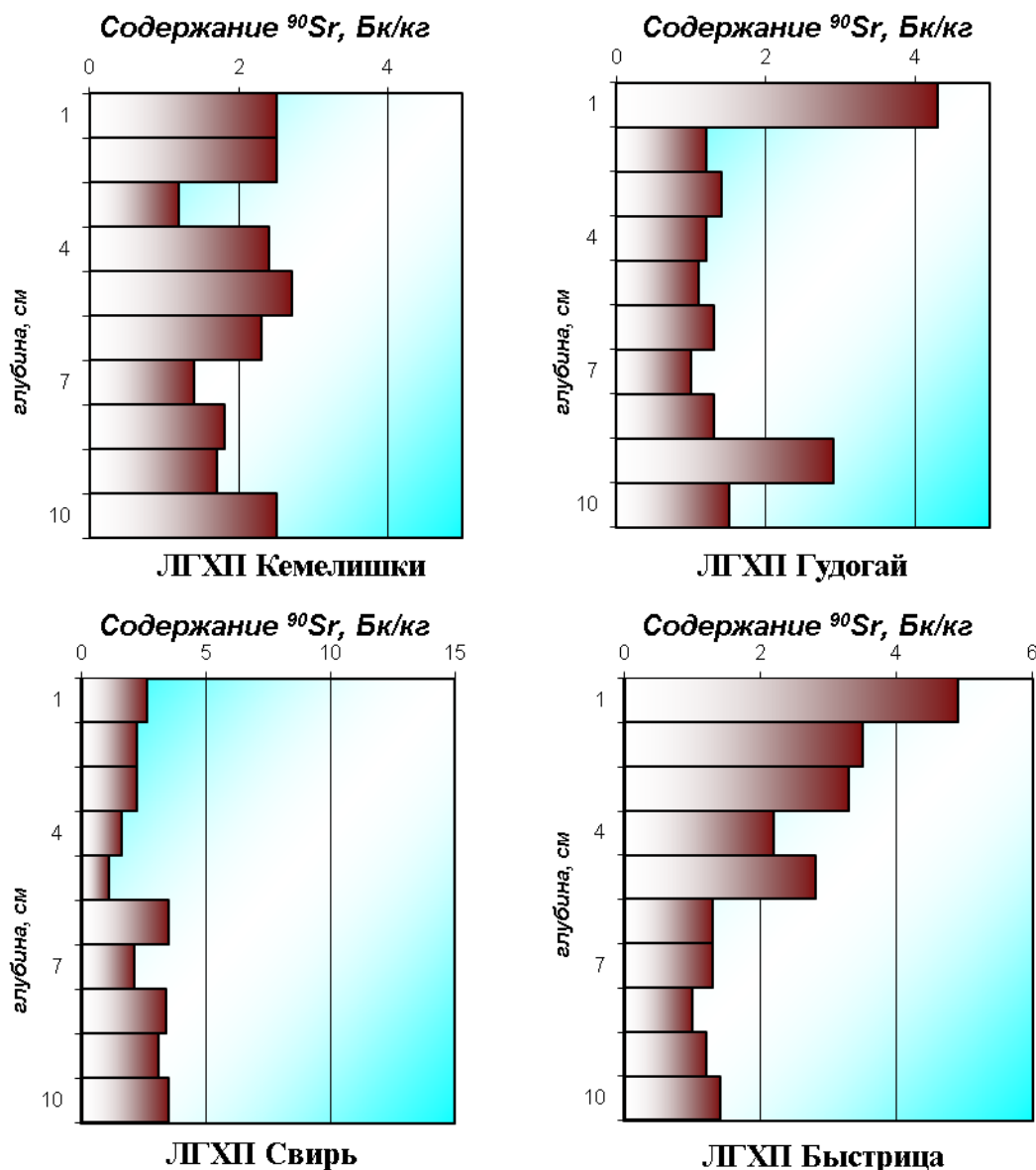


Рисунок 10.12 – Фактическое распределение стронция-90 по вертикальному профилю почв на ЛГХП, размещенных в районе расположения Белорусской АЭС

Анализ фактического распределения цезия-137 по профилю почв (рисунок 10.11) позволяет предположить, что вертикальное распределение радионуклидов носит относительно равномерный характер.

Распределение в почвах ЛГХП стронция-90 носит более равномерный характер (рисунок 10.12); разница между максимальным и минимальным значением содержания стронция-90 в слоях почвы незначительная и сопоставима с погрешностью метода определения содержания этого радионуклида.

Уровни радиоактивного загрязнения почв на ЛГХП, расположенных в районе размещения Белорусской АЭС, соответствуют уровню глобальных выпадений, обусловленных испытаниями ядерного оружия в середине прошлого века.

Результаты наблюдений за интенсивностью вертикальной миграции радионуклидов по профилю почв на ЛГХП, расположенных в районе размещения Белорусской АЭС на территориях, не относящихся к радиоактивно загрязненным, подтверждают тенденцию замедления скорости миграции и доминирующую роль диффузионных процессов в перераспределении радионуклидов по вертикальному профилю почв.

Данные о фактическом распределении радионуклидов по профилю почв ЛГХП, расположенных в районе размещения Белорусской АЭС, будут использоваться для оценки влияния АЭС на окружающую среду в период ее эксплуатации.

### **Международное сравнение**

Уровень лабораторного оснащения системы радиационного мониторинга в Республике Беларусь и степень автоматизации процессов измерения радиационных параметров и передачи данных позволяют выявлять даже незначительное увеличение содержания техногенных радионуклидов в атмосферном воздухе и оперативно реагировать в случае инцидентов радиационного характера.

В 2023 г. в сопредельных странах и странах Западной Европы не зафиксировано значительных инцидентов на ядерно- и радиационно-опасных объектах с выбросом радиоактивных веществ в окружающую среду; фактов трансграничного переноса радионуклидов с воздушными массами не установлено.

### **Прогноз**

Радиационная обстановка на территории Республики Беларусь будет постепенно улучшаться, причем основным фактором, обуславливающим динамику положительных изменений, является естественный радиоактивный распад, поскольку влияние природно-климатических факторов на естественную деконтаминацию территории республики очень незначительно. Сток радионуклидов с водосборных территорий и вынос их речной сетью через контролируемые створы оценивается от сотых до пяти десятых процента по отношению к естественному распаду. Заглубление радионуклидов вследствие вертикальной миграции существенно влияло на радиационную обстановку в первые несколько лет после катастрофы на Чернобыльской АЭС, однако, в начале 2000-х гг. четко обозначилась тенденция снижения скоростей миграции радионуклидов, особенно в полугидроморфных и гидроморфных почвах, где изначально они были выше. Наличие геохимических барьеров (мощных слоев дернины, перегнойных горизонтов, прослойки глинистых минералов) обуславливает низкую интенсивность миграционных процессов. Основная доля радионуклидов находится в верхнем корнеобитаемом слое почвы.

Поскольку доминирующим механизмом вертикальной миграции в настоящее время является диффузия, можно предположить, что количественные параметры миграции останутся на том же уровне, что и последние 10 лет.

Ухудшение радиационной обстановки в связи с вводом в эксплуатацию Белорусской АЭС не прогнозируется.